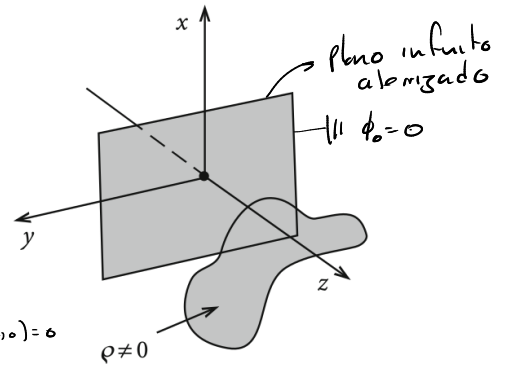


2.4.- Método de imágenes

En la sección anterior desarrollamos el formalismo de Green para electrostática. Ahora, ejemplificaremos un caso con conductores de Dirichlet

$$\hookrightarrow \rho(\vec{r}) \text{ acotada en } V = \{\vec{r} \mid z > 0\}$$

$$\hookrightarrow \begin{cases} \phi(z=0) = \phi_0 = 0 \\ \phi(x \rightarrow \pm\infty) = \phi(y \rightarrow \pm\infty) = 0 \end{cases} \quad \phi(r \rightarrow \infty) = 0$$



Es decir para $V = \{\vec{r} \mid z > 0\}$ tenemos que $\phi(\partial V) = 0$. Entonces, la meta es determinar

$$g_D(\vec{r}, \vec{r}') = \frac{1}{4\pi\epsilon_0} \frac{1}{\|\vec{r} - \vec{r}'\|} + f_0(\vec{r}, \vec{r}') \quad \text{y} \quad \phi(\vec{r}) = \int_V d^3r' \rho(\vec{r}') g_D(\vec{r}, \vec{r}') - \epsilon_0 \oint_{\partial V} d^2r' \phi(\vec{r}') \hat{n} \cdot \nabla_{\vec{r}'} g_D(\vec{r}, \vec{r}')$$

para esto, debe cumplirse que

$$\nabla_{\vec{r}}^2 f_0(\vec{r}, \vec{r}') = 0 \text{ en } V \quad \text{y} \quad \oint_{\partial V} d^2r' g_D(\vec{r}, \vec{r}') \hat{n} \cdot \nabla \phi(\vec{r}') = 0$$

\hookrightarrow Esto se cumple si $g_D(\vec{r}, \vec{r}') = 0$ en $\partial V \dots (1)$

Para que (1) se cumpla, tenemos que ver que

$$0 = g_D(\vec{r}, \vec{r}'=0) = \frac{1}{4\pi\epsilon_0} [(x-x')^2 + (y-y')^2 + (z-z')^2]^{-1/2} + f_0(\vec{r}, \vec{r}'=0)$$

$$\Rightarrow f_0(\vec{r}, \vec{r}'=0) = \frac{-1}{4\pi\epsilon_0} [(x-x')^2 + (y-y')^2 + (z-z')^2]^{-1/2}$$

Esto sugiere el **Ansatz**

$$f_0(\vec{r}, \vec{r}') = \frac{-1}{4\pi\epsilon_0} \frac{1}{\|\vec{r} - \vec{r}'_s\|}$$

\vec{r}'_s debe mantener la igualdad anterior sin importar el valor de \vec{r}' , entonces se propone

$$\Rightarrow f_0(\vec{r}, \vec{r}') = \frac{-1}{4\pi\epsilon_0} [(x-x')^2 + (y-y')^2 + (z+z')^2]^{-1/2}$$

$$\vec{r}' = (x', y', z') \longrightarrow \vec{r}'_s = (x', y', -z')$$

Calculando

$$\nabla_{\vec{r}}^2 f_0(\vec{r}, \vec{r}') = \frac{1}{\epsilon_0} \delta(\vec{r} - \vec{r}'_s) = \frac{1}{\epsilon_0} \delta(x-x') \delta(y-y') \delta(z+z') = 0 \quad \forall \vec{r} \text{ y } \vec{r}' \in V$$

\hookrightarrow Por esto viene en $z < 0$

En tanto ya se cumplen las dos condiciones sobre $f_0(\vec{r}, \vec{r}')$, dando como resultado

$$g_D(\vec{r}, \vec{r}') = \frac{1}{4\pi\epsilon_0} \left(\frac{1}{\|\vec{r} - \vec{r}'\|} - \frac{1}{\|\vec{r} - \vec{r}'_s\|} \right) = \frac{1}{4\pi\epsilon_0} \left\{ [(x-x')^2 + (y-y')^2 + (z-z')^2]^{-1/2} - [(x-x')^2 + (y-y')^2 + (z+z')^2]^{-1/2} \right\}$$

\hookrightarrow En $z=0$ se cumple que $\|\vec{r} - \vec{r}'\| = \|\vec{r} - \vec{r}'_s\|$ entonces $g_D(\vec{r}, \vec{r}'=0) = 0$ si $g_D(\|\vec{r}\| \rightarrow \infty | z=0) = 0$

Por lo tanto $g_D(\vec{r}, \vec{r}' \in \partial V) = 0$, que es la condición impuesta

Por lo tanto:

$$\phi(\vec{r}) = \int_V d^3r' \rho(\vec{r}') g_D(\vec{r}, \vec{r}') - \epsilon_0 \oint_{\partial V} d^2r' \phi(\vec{r}') \hat{n} \cdot \nabla_{\vec{r}'} g_D(\vec{r}, \vec{r}')$$

Solución a $\phi(z > 0)$ con

$$\Rightarrow \phi(\vec{r}) = \int_V d^3r' \frac{\rho(\vec{r}')}{4\pi\epsilon_0} \left(\frac{1}{\|\vec{r} - \vec{r}'\|} - \frac{1}{\|\vec{r} - \vec{r}'_s\|} \right), \text{ con } \vec{r}' = x'\hat{e}_x + y'\hat{e}_y + z'\hat{e}_z$$

plano $\phi(z=0)=0$
y $V = \{\vec{r} \mid z > 0\}$.

$\vec{r}'_s = x'\hat{e}_x + y'\hat{e}_y - z'\hat{e}_z$

Si se tuviera la condición $\phi(z=0) = \phi_0 \neq 0$, entonces tenemos que

$$\hat{n} \cdot \nabla_{\vec{r}} g_D(\vec{r}, \vec{r}') \Big|_{z=0} = -\hat{e}_z \cdot \nabla_{\vec{r}} g_D(\vec{r}, \vec{r}') \Big|_{z=0} = -\frac{1}{4\pi\epsilon_0} \frac{2z}{[(x-x')^2 + (y-y')^2 + z^2]^{3/2}}$$

\hookrightarrow los dos términos son iguales para $z=0$

y por lo tanto, de forma general

$$\phi(\vec{r}) = \int_V d^3r' \gamma_0(\vec{r}, \vec{r}') \rho(\vec{r}') + \frac{zz}{4\pi} \int_{-\infty}^{\infty} dx' \int_{-\infty}^{\infty} dy' \frac{\phi(x', y', 0)}{[(x-x')^2 + (y-y')^2 + z^2]^{3/2}}$$

Con todo este, podemos asegurar lo siguiente

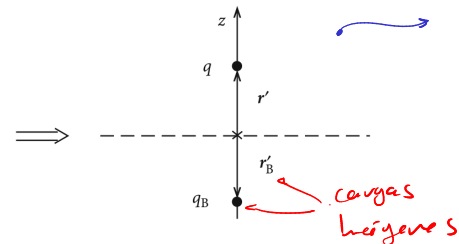
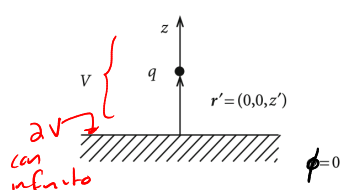
$f_0(\vec{r}, \vec{r}') \rightarrow$ Potencial escalar asociado a una distribución de cargas fuera de V que permite recuperar las condiciones de frontera en ∂V

Estas son cargas ficticias con una distribución que depende de \vec{r}' \rightarrow Fuera de $\partial V \Rightarrow$ No modifican la ecuación de Poisson en V (Pues $\nabla^2 f = 0$ en V)
 \hookrightarrow Posición de cargas reales

El procedimiento anterior son las bases del método de imágenes que depende de diversas geometrías.

Plano conductor aterrizado y carga puntual

Problema físico \rightarrow Problema equivalente



Para resolver el potencial en $V = \{ \vec{r} | z > 0 \}$ proponemos

$$4\pi\epsilon_0 \phi(\vec{r}) = \frac{q}{\|\vec{r} - \vec{r}'\|} + \frac{q_B}{\|\vec{r} - \vec{r}_B\|}$$

con $\vec{r}' = z \hat{e}_z$
 ¿Cuánto vale \vec{r}_B o q_B ?

Por condiciones de Dirichlet $\phi(z=0) = 0 = \frac{1}{4\pi\epsilon_0} \left\{ \frac{q}{\sqrt{(x-x')^2 + (y-y')^2 + (-z)^2}} + q_B \frac{1}{\sqrt{(x-x')^2 + (y-y')^2 + (-z - z_B)^2}} \right\}$

Para que se cumpla esta condición: $q = -q_B$, $(-z)^2 = (-z - z_B)^2 \Rightarrow \vec{r} = -\vec{r}_B$

$$\Rightarrow \phi(\vec{r}) = \frac{q}{4\pi\epsilon_0} \left(\frac{1}{\|\vec{r} - \vec{r}'\|} - \frac{1}{\|\vec{r} + \vec{r}'\|} \right)$$

Falta comprobar que $\nabla_{\vec{r}}^2 \left(\frac{1}{\|\vec{r} + \vec{r}'\|} \right) = 0$, que sí pues $\nabla_{\vec{r}}^2 \left(\frac{1}{\|\vec{r} - \vec{r}'\|} \right) = -4\pi \delta(\vec{r} - \vec{r}') = 0$ en V pues $\vec{r}' \notin V$.

\rightarrow Esfera conductora aterrizada

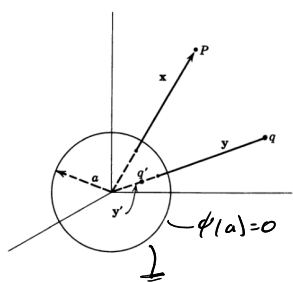


Figure 2.2 Conducting sphere of radius a , with charge q and image charge q' .

Nuevamente proponemos

$$4\pi\epsilon_0 \phi(\vec{r}) = \frac{q}{\|\vec{r} - \vec{r}'\|} + \frac{q_B}{\|\vec{r} - \vec{r}_B\|}$$

$$= \frac{q}{\|\vec{r} \hat{e}_r - r' \hat{e}_r'\|} + \frac{q_B}{\|\vec{r} \hat{e}_r - r_B \hat{e}_r'\|}$$

$$= \frac{q}{r \|\hat{e}_r - (\frac{r'}{r}) \hat{e}_r'\|} + \frac{q_B}{r_B \|\hat{e}_r - (\frac{r_B}{r_B}) \hat{e}_r'\|}$$

Evaluando en $\phi(a) = 0$, vemos que $4\pi\epsilon_0 \phi(a) = 0 =$

$$\frac{q}{a \|\hat{e}_r - (\frac{r'}{a}) \hat{e}_r'\|} + \frac{q_B}{r_B \|\hat{e}_r - (\frac{r_B}{r_B}) \hat{e}_r'\|}$$

Es decir

$$4\pi\epsilon_0\phi(a)=0 = \frac{q}{a\|\hat{e}_r - (\frac{r'}{a})\hat{r}'\|} + \frac{q_B}{r_B\|(\frac{a}{r_B})\hat{e}_r - \hat{r}'\|}$$

Debido a la simetría esférica del problema, es razonable pensar que

$$\hat{r}' = \hat{r}_B$$

$$\Rightarrow 4\pi\epsilon_0\phi(a)=0 = \frac{q}{a\|\hat{e}_r - (\frac{r'}{a})\hat{r}'\|} + \frac{q_B}{r_B\|(\frac{a}{r_B})\hat{e}_r - \hat{r}'\|} \Rightarrow \underbrace{\frac{q}{a}}_{a)} = \underbrace{\frac{q_B}{r_B}}_{b)} (1) \text{ y } \underbrace{\|\hat{e}_r - (\frac{r'}{a})\hat{r}'\|}_{b)} = \underbrace{\|(\frac{a}{r_B})\hat{e}_r - \hat{r}'\|}_{a)}$$

De b) notamos que $\|\hat{e}_r - (\frac{r'}{a})\hat{r}'\|^2 = 1 - 2(\frac{r'}{a})\hat{e}_r \cdot \hat{r}' + (\frac{r'}{a})^2 = (\frac{a}{r_B})^2 - 2(\frac{a}{r_B})\hat{e}_r \cdot \hat{r}' + 1 = \|(\frac{a}{r_B})\hat{e}_r - \hat{r}'\|^2 \dots (1)$

$$\Rightarrow -2(\frac{r'}{a})\hat{e}_r \cdot \hat{r}' + (\frac{r'}{a})^2 = (\frac{a}{r_B})^2 - 2(\frac{a}{r_B})\hat{e}_r \cdot \hat{r}'$$

$$\Rightarrow -2\hat{e}_r \cdot \hat{r}' \left[(\frac{r'}{a}) - (\frac{a}{r_B}) \right] + (\frac{r'}{a})^2 - (\frac{a}{r_B})^2 = 0$$

$$\Rightarrow -2\hat{e}_r \cdot \hat{r}' \left[(\frac{r'}{a}) - (\frac{a}{r_B}) \right] + \left[(\frac{r'}{a}) - (\frac{a}{r_B}) \right] \left[(\frac{r'}{a}) + (\frac{a}{r_B}) \right] = 0$$

$$\Rightarrow \left[(\frac{r'}{a}) - (\frac{a}{r_B}) \right] \left\{ -2\hat{e}_r \cdot \hat{r}' + (\frac{r'}{a}) + (\frac{a}{r_B}) \right\} = 0$$

Entonces, para todo valor de $\hat{e}_r \cdot \hat{r}'$ se cumplen las condiciones de frontera si

$$\frac{q}{a} = -\frac{q_B}{r_B} \text{ y } \frac{r'}{a} = \left(\frac{a}{r_B}\right) \Rightarrow r_B = a\left(\frac{a}{r'}\right) < a, \quad q_B = -q\left(\frac{r_B}{a}\right) = -q\left(\frac{a^2}{ar'}\right) = -q\left(\frac{a}{r'}\right)$$

En la letra $\phi(\vec{r}) = \frac{q}{4\pi\epsilon_0} \left(\frac{1}{\|\vec{r} - \vec{r}'\|} - \frac{(a/r')}{\|\vec{r} - (\frac{a}{r'})^2 \vec{r}'\|} \right)$ es el potencial que buscamos.

De este resultado podemos prever que fíjase tiene la función de Green para esta geometría

$$G_0(\vec{r}, \vec{r}') = \frac{1}{4\pi\epsilon_0} \left[\frac{1}{\|\vec{r} - \vec{r}'\|} - \frac{1}{\|(\frac{r'}{a})\vec{r} - (\frac{a}{r'})\vec{r}'\|} \right] \rightarrow \text{Notamos que cumple que } G_0(\vec{r}, \vec{r}') = G_0(\vec{r}', \vec{r})$$

y que $G_0(\vec{r}, \vec{r}')|_0 = 0$ por construcción

→ Dado que ya conocemos la función de Green, no es necesario restringirnos al caso de esferas aterizadas.

y dado que $\frac{\partial^2}{\partial r^2} \left(\frac{1}{r} \right) = 0$ se cumple que $\nabla^2 G_0(\vec{r}, \vec{r}') = 0$

Para tener en cuenta $\phi(r=a) \neq 0$, debemos calcular

$$\hat{n} \cdot \nabla_{\vec{r}'} G_0(\vec{r}, \vec{r}') \Big|_{r'=a} = -\hat{e}_r \cdot \nabla_{\vec{r}'} G_0(\vec{r}, \vec{r}') \Big|_{r'=a}$$

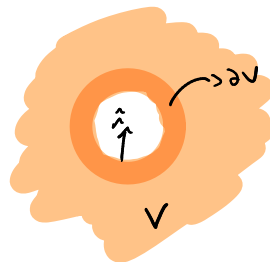
De las expresiones en (1) podemos reescribir $G_0(\vec{r}, \vec{r}')$ como sigue

$$G_0(\vec{r}, \vec{r}') = \frac{1}{4\pi\epsilon_0} \left[(r^2 + r'^2 - 2rr'\hat{e}_r \cdot \hat{r}')^{-1/2} - \left(\frac{r'^2}{a^2} + a^2 - 2r'r'\hat{e}_r \cdot \hat{r}' \right)^{-1/2} \right]$$

y como $\hat{n} \cdot \nabla_{\vec{r}'} = -\hat{e}_r \cdot \nabla_{\vec{r}'} = -\frac{\partial}{\partial r'}$, entonces

$$\hat{n} \cdot \nabla_{\vec{r}'} G_0(\vec{r}, \vec{r}') \Big|_{r'=a} = -\frac{1}{4\pi\epsilon_0 a} \frac{r^2 - a^2}{(r^2 + a^2 - 2ra\hat{e}_r \cdot \hat{r}')^{3/2}}$$

→ Nuestro vector \hat{n} debe apuntar fuera de V , y como en nuestro caso $V = \{ \vec{r} | r > a \}$, entonces $\hat{n} = -\hat{e}_r$



Entonces, la solución general para esta geometría es:

$$\phi(\vec{r}) = \phi(r, \theta, \varphi) = \int_V G_0(\vec{r}, \vec{r}') \rho(\vec{r}') d^3r' - \epsilon_0 \oint_{r'=a} \phi(\vec{r}') \hat{n} \cdot \nabla_{\vec{r}'} G_0(\vec{r}, \vec{r}') d^2r'$$

$$\xrightarrow{r'=a} + \frac{a(r^2 - a^2)}{4\pi} \int_{-1}^1 d(\cos\theta) \int_0^{2\pi} d\varphi' \frac{\phi(a, \theta', \varphi')}{(r^2 + a^2 - 2ra\hat{e}_r \cdot \hat{r}')^{3/2}}$$

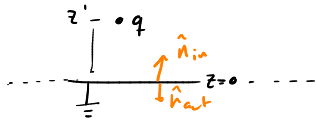
(como $d^3r' = r'^2 \sin\theta' d\theta' d\varphi' = -r'^2 d(\cos\theta') d\varphi'$)

en donde la complicación de la integración en dV está en que

$$\begin{aligned}\hat{r} \cdot \hat{r}' &= \sin\theta \sin\theta' \cos\phi \cos\phi' + \sin\theta \sin\theta' \sin\phi \sin\phi' + \cos\theta \cos\theta' \\ &= \sin\theta \sin\theta' [\cos\phi \cos\phi' + \sin\phi \sin\phi'] + \cos\theta \cos\theta' = \sin\theta \sin\theta' \cos(\phi - \phi') + \cos\theta \cos\theta'\end{aligned}$$

Campo eléctrico, carga inducida y densidad

Con los desarrollos anteriores, calculemos los potenciales para las siguientes geometrías



$$\phi(z>0) = \frac{q}{4\pi\epsilon_0} \left[\frac{1}{\sqrt{(x-x')^2 + (y-y')^2 + (z-z')^2}} - \frac{1}{\sqrt{(x-x')^2 + (y-y')^2 + (z+z')^2}} \right]$$

Campo eléctrico

Dado que $\vec{E} = -\nabla\phi$, entonces

$$\vec{E}(z>0) = \frac{q}{4\pi\epsilon_0} \left\{ \frac{(x-x')\hat{e}_x + (y-y')\hat{e}_y + (z-z')\hat{e}_z}{[(x-x')^2 + (y-y')^2 + (z-z')^2]^{3/2}} - \frac{(x-x')\hat{e}_x + (y-y')\hat{e}_y + (z+z')\hat{e}_z}{[(x-x')^2 + (y-y')^2 + (z+z')^2]^{3/2}} \right\}$$

Carga inducida en

particular

$$\vec{E}(z \rightarrow 0^+) = \frac{q}{4\pi\epsilon_0} \frac{-2z'\hat{e}_z}{[(x-x')^2 + (y-y')^2 + (z')^2]^{3/2}}$$

Como $(\vec{E}^{in} - \vec{E}^{ext}) \cdot \hat{n} = \vec{E}(z \rightarrow 0^+) \cdot \hat{e}_z = \frac{\sigma}{\epsilon_0}$, entonces

$$\sigma = \epsilon_0 E_z(x, y, 0^+) = -\frac{q}{2\pi} \frac{z'}{[(x-x')^2 + (y-y')^2 + (z')^2]^{3/2}}$$

Como el plano era neutro $\sigma_{tot} = \sigma_{ind}$, y por tanto

$$q_{ind} = \int_{-\infty}^{\infty} \int_{-\infty}^{\infty} dx dy \sigma_{ind}(x, y) = \int_{-\infty}^{\infty} \int_{-\infty}^{\infty} dx dy \frac{(-q/2\pi) z'}{[(x-x')^2 + (y-y')^2 + (z')^2]^{3/2}}$$

Integrando en cilíndricos con $s^2 = (x-x')^2 + (y-y')^2$
y $dx dy = s ds d\phi$

$$q_{ind} = \int_0^{2\pi} d\phi \int_0^{\infty} ds \frac{(-q/2\pi) z'}{[s^2 + (z')^2]^{3/2}} = -q z' \int_0^{\infty} ds \frac{s}{[s^2 + (z')^2]^{3/2}}$$

$$u = s^2 + (z')^2 \rightarrow du = 2s ds$$

$$q_{ind} = -q z' \int_{(z')^2}^{\infty} \frac{du/2}{u^{3/2}} = -q z' \left(\frac{1}{1} \right) \frac{u^{-1/2}}{1} \bigg|_{(z')^2}^{\infty} = -\frac{z'}{|z'|} q = -q$$

Dado que ahora el plano está cargado, éste sufre una fuerza debida a la carga original q en $z'>0$. En este caso

pero por simetría sólo habrá contribuciones en \hat{e}_z

Figura 2.10

$$\vec{F}_{\vec{r}} = \int d\vec{F} = \int \sigma \vec{E}(z \rightarrow 0^+) da \hat{e}_z = \int \sigma da \hat{e}_z$$

Como para $z < 0$ $\vec{E} = \vec{0}$, entonces hay una compensación con σ_{ind} y q , por lo que

2ª ley de Newton

se supone que $E(z=0) = \frac{1}{2} \frac{\sigma}{\epsilon_0}$ → Dada la ley de Gauss eléctrica

$$\Rightarrow \vec{F}_{\vec{r}} = - \int_{z=0} d\vec{F}_{\vec{r}} = - \hat{e}_z \int \sigma E(z=0) da = - \hat{e}_z \int \frac{\sigma^2}{2\epsilon_0} da$$



$$\phi(r>a) = \frac{q}{4\pi\epsilon_0} \left[\frac{1}{\sqrt{r^2 + (z')^2 - 2rz'\cos\theta}} - \frac{1}{\sqrt{\frac{r^2(z')^2}{a^2} + a^2 - 2r(z')\cos\theta}} \right]$$

Escogiendo $\hat{r}' = \hat{e}_z$ $\hat{e}_r \cdot \hat{r}' = \cos\theta$ y en este caso lo dejé de tener "

$$\sigma_{tot} = \epsilon_0 E_r(r=a^+, \theta) = -\frac{q}{4\pi a^2} \left(\frac{a}{r'} \right) \frac{1 - (a/r')^2}{(1 + (a/r')^2 - 2(a/r')\cos\theta)^{3/2}}$$

Tener "

$$\begin{aligned}\vec{F}_{\vec{e}_z} &= - \int d\vec{F} = -\frac{\hat{e}_z}{2\epsilon_0} \int d^3r \sigma^2(\theta) \cos\theta \\ &= \frac{\hat{e}_z}{4\pi\epsilon_0} \frac{q(-qa/r')}{(r' - a\cos\theta)^2}\end{aligned}$$

y energía igual de tener "

y Sustituyendo con la expresión de σ

$$\vec{F} = -\frac{q^2}{4\pi\epsilon_0} \frac{\hat{e}_z}{(zz')^2}$$

Donde se integró en coordenadas cilíndricas de nuevo.

El mismo resultado se obtiene de evaluar

el cálculo de $\vec{F}_{qq'}$, dado $|\vec{r}-\vec{r}'| = z z'$

y aunque parezca que basta con realizar el problema imagen, hay que notar que para la energía del sistema, hay que proceder con cuidado

Finalmente, se debe calcular como sigue:

$$W = \int_{\infty}^{z'} \vec{F} \cdot d\vec{l} = \frac{q^2}{4\pi\epsilon_0} \int_{\infty}^{z'} \frac{dz}{(zz')^2} = \frac{1}{2} \left(\frac{\epsilon_0}{z} - \frac{q^2}{4\pi\epsilon_0 z} \right)$$

Este factor es nuevo. la energía total si V fuera todo el espacio

Otra forma de ver esto es argumentar que:

$$W = \frac{\epsilon_0}{2} \int_V \vec{E} \cdot \vec{E} d^3r$$

si V es la mitad de todo el espacio

Esto lo podemos entender en que nuevo dos cargas en el caso de las imágenes pero sólo una con el plano; la carga inducida no las nuevo yo!